

Уточнение пар уровней, связанных излучательными переходами, подтвердило выводы [1, 3]; предложенную в [6] интерпретацию СЛ ИАГ-Nd следует признать ошибочной.

Интересной особенностью структуры СЛ ИАГ-Nd является отсутствие излучательных переходов с нижнего уровня триплета  $^2F_{5/2}$  на уровне других «светящихся» мультиплетов —  $^4F_{3/2}$ ,  $^2P_{3/2}$ , что, вероятно, обусловлено сравнительно большими временами жизни и соответственно существенным повышением заселенности этих уровней во время коротковолнового возбуждения через верхние мультиплеты. Это, в свою очередь, приводит к эффективному самопоглощению фотонов, испускаемых при излучательных переходах  $^2F_{5/2} \rightarrow ^2P_{3/2}$  и  $^2F_{5/2} \rightarrow ^4F_{3/2}$ .

### Литература

- [1] Воронько Ю. К., Денкер Б. И., Осико В. В., Прохоров А. М. Тимошечкин М. И. ДАН СССР, 1969, т. 188, в. 6, с. 1258.
- [2] Воронько Ю. К., Денкер Б. И., Осико В. В. ФТТ, 1971, т. 13, в. 1, с. 178.
- [3] Воронько Ю. К., Нолле Э. Л., Осико В. В., Тимошечкин М. И. Письма ЖЭТФ, 1971, т. 13, в. 3, с. 125.
- [4] Захарко М. М. Автореф. канд. дис. Львов: ГУ, 1972.
- [5] Захарко Я. М., Захарко М. М., Сенькив В. А. Матер. XIX совещ. по люминесценции. Рига: Изд. Латв. ГУ, 1970, ч. 2, с. 89.
- [6] Азаров В. В., Базилевская Т. А., Р. Ю. Ицкович, Квичко Л. А., Рамакаева Р. Ф. В кн.: Монокристаллы и техника. Харьков, 1974, в. 1 (10), с. 54.
- [7] Азаров В. В., Квичко Л. А., Коток Л. А., Рамакаева Р. Ф., Щербина Е. В. В кн.: Тугоплавкие соединения РЗМ. Новосибирск, 1979, с. 142.
- [8] Роозе Н. С., Анисимов Н. А. Опт. и спектр., 1975, т. 38, в. 3, с. 627.
- [9] Багдасаров Х. С., Володина И. С., Коломийцев А. И., Мейльман М. Л., Смагин А. Г. Кvant. elektron., 1982, т. 9, в. 6, с. 1158.
- [10] Коломийцев А. И., Мейльман М. Л., Володина И. С., Чукичев М. В., Смагин А. Г., Багдасаров Х. С. Рук. деп. в ВИНТИ 8.12.82 № 5995—82 Деп.
- [11] Koningstein J. A., Geusic J. A. Phys. Rev., 1964, v. 136, p. 711.
- [12] Koningstein J. A. J. Chem. Phys., 1966, v. 44, p. 3957.
- [13] Каминский А. А. Лазерные кристаллы. М.: Наука, 1975.
- [14] Gasparik V. Acta Phys. Slov., 1978, v. 28, p. 222.

Поступило в Редакцию 2 февраля 1982 г.

УДК 535.36

Opt. и спектр., т. 56, в. 2, 1984

## СПЕКТР ВИДИМОГО ИЗЛУЧЕНИЯ, ВЫХОДЯЩЕГО ИЗ РАССЕИВАЮЩИХ СЛОЕВ С РАЗЛИЧНОЙ ОПТИЧЕСКОЙ ТОЛЩИНОЙ

Войшвило Н. А., Анохин Ю. А.

В настоящем сообщении приводятся результаты расчетов спектров рассеянного излучения для широкой спектральной области, охватывающей весь видимый диапазон от 0.40 до 0.74 мкм. Рассматривается среда, элементарный объем которой обладает изотропной индикатрисой рассеяния и релеевской спектральной зависимостью светорассеяния, т. е. направленный показатель рассеяния в любом направлении прямо пропорционален  $1/\lambda^4$  (так же как и показатель рассеяния). В соответствии с указанной закономерностью оптическая толщина  $\tau(\lambda)$  слоя растет по мере уменьшения длины волны  $\lambda$ , и отношение  $\tau(0.4)/\tau(0.74) = 11.7$ . Расчеты проведены для серии слоев разной толщины, оптическая толщина которых в середине видимого участка спектра (при  $\lambda=0.56$  мкм) охватывает диапазон 0.15—15.25. Указанный диапазон определяет по мере увеличения оптической толщины реализацию в слоях рассеяния света различной кратности, начиная от преимущественно однократного до рассеяния высоких порядков.

Целью настоящей работы является ответ на вопрос: меняется ли (в широком интервале длин волн) по мере нарастания оптической толщины слоя спектральная зависимость светорассеяния вида  $1/\lambda^4$ , характерная для элементарного объема среды, а если меняется, то каким образом. В соответствии с поставленной задачей по уравнению переноса излучения были рассчитаны интенсивности излучения, выходящего из плоского слоя рассеивающей среды под несколькими углами  $\Theta$ , отсчитываемые от направления распространения освещющего параллельного пучка излучения, обладающего равнозернистическим спектром и падающего перпендикулярно к слою (слой освещается только с одной стороны),

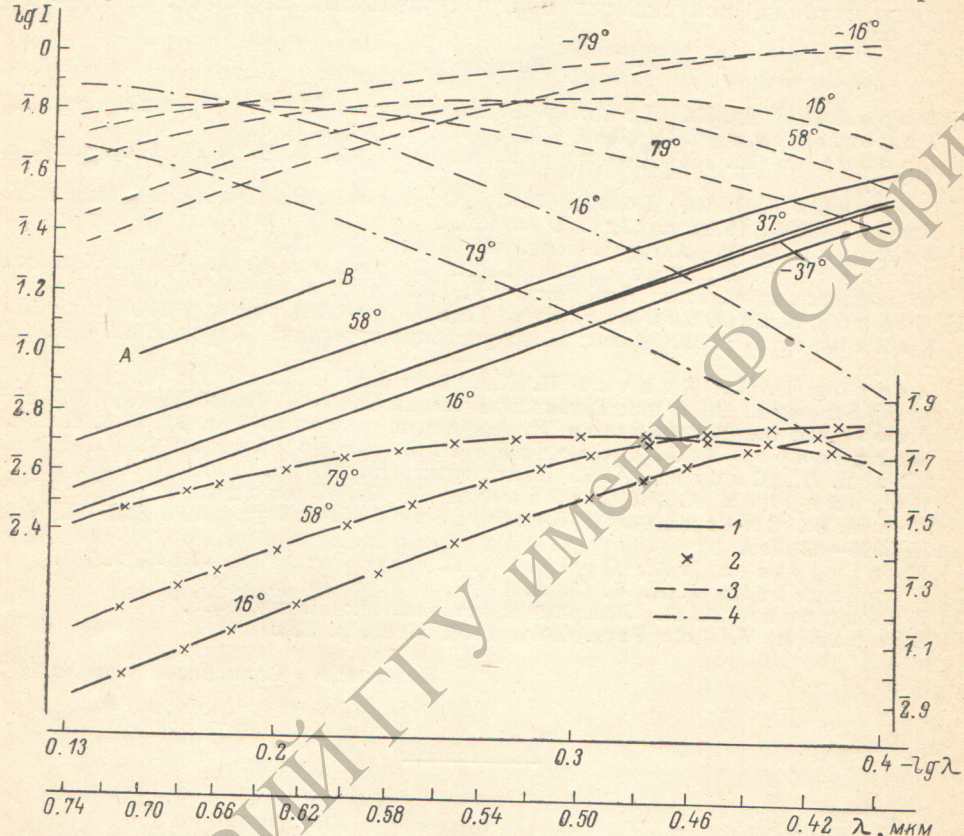


Рис. 1. Спектральная зависимость светорассеяния излучения, вышедшего из слоя в фиксированных направлениях.

Цифры у кривых означают угол рассеяния  $\Theta$ . Слой с оптической толщиной  $\tau$  (0.56): 1 — 0.15, 2 — 0.46, 3 — 1.52, 4 — 7.6. Правая шкала ординат относится к образцу с толщиной  $\tau$  (0.56) = 0.46.

а также две интегральные характеристики — коэффициенты диффузного отражения и пропускания. Расчет производился по методу, который описан в работе [1] и который представляет собой развитие метода Чандрасекара [2]. Вероятность выживания фотона в расчетах была принята равной 0.999 независимо от длины волны.

Результаты расчетов представлены на рис. 1, 2 в виде графиков зависимости интенсивности  $I$  рассеянного излучения от логарифма длины волны ( $\lg I = f(-\lg \lambda)$ ) для разных углов рассеяния и слоев с различной оптической толщиной. Очевидно, что для рассеяния с реологическим характером спектра эта зависимость должна представляться возрастающей с уменьшением  $\lambda$  прямой линией, которая имеет тангенс угла наклона, равный 4, одинаковый для разных углов рассеяния (на рис. 1 для удобства сопоставления дан отрезок прямой  $AB$ , тангенс угла наклона которой равен 4). И действительно, такая картина наблюдается для наиболее тонкого образца с оптической толщиной  $\tau$  (0.56) = 0.15 (сплошные линии на рис. 1). Однако для слоя с несколько большей толщиной  $\tau$  (0.56) = 0.45 имеет место уже следующее: зависимость  $\lg I = f(-\lg \lambda)$

в этом случае более не выражается прямой — это кривые с меньшими тангенсами угла наклона касательных к точкам на кривой. Для разных углов рассеяния эти тангенсы различны, и потому различны и спектры рассеянного излучения. При этом чем больше угол <sup>1</sup>  $\Theta$  прошедшего через слой излучения, тем более нейтрален его спектр. Кроме того, нейтральность спектра растет при смещении в коротковолновый участок. Еще более дифференцируется картина при переходе к следующей оптической толщине  $\tau(0.56)=1.5$ . Более того, здесь уже излучение, прошедшее через слой и распространяющееся под углом  $\Theta=79^\circ$ , обладает спектром, по своему характеру противоположным рассмотренному выше для оптически более тонкого слоя с  $\tau(0.56)=0.15$  — в нем преобладает не коротковолновое, а, напротив, длинноволновое излучение. При меньших углах рассеяния такая спектральная зависимость в прошедшем излучении также наблюдается, но на более узких участках спектра ( $\lambda < 0.54 \text{ мкм}$ ). Что касается вида

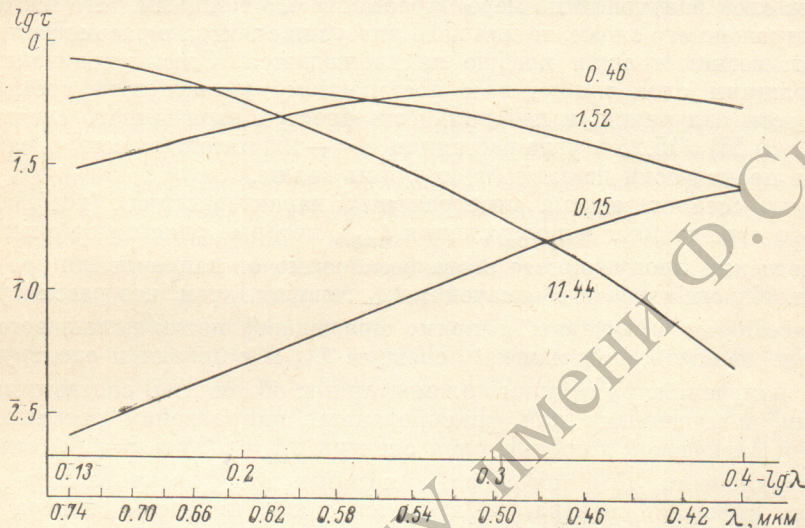


Рис. 2. Спектральная зависимость светорассеяния излучения, прошедшего через слой и распространяющегося под углом  $\Theta=79^\circ$  для слоев с разной толщиной.

Цифры у кривых означают оптическую толщину.

спектральной зависимости, близкого к характеру спектра, рассеиваемого элементарным объемом, то он сохраняется лишь в отраженном излучении.

Наиболее резко рассматриваемое явление выражено у слоя с еще большей оптической толщиной  $\tau(0.56)=7.5$  (штрихпунктирные линии), где это преобладание длинноволнового излучения выражено еще заметнее и охватывает больший диапазон углов рассеяния. В излучении, прошедшем через этот слой, в сущности полностью исчез характер спектральной зависимости светорассеяния, который был свойствен элементарному объему среды — имеет место не только нивелирование, но и переход к спектру противоположного характера.

Рассмотренное влияние оптической толщины слоя на спектр рассеянного им излучения особенно наглядно прослеживается на рис. 2, где объединены зависимости  $lg I=f(-lg \lambda)$  слоев с разной оптической толщиной при одном угле рассеяния: На наш взгляд, представляет интерес появление в спектральной кривой  $I=f(\lambda)$  точки, которую мы назовем точкой инверсии, начиная от которой спектры в разных направлениях изменения длины волн (т. е. или в сторону уменьшения, или в сторону увеличения  $\lambda$ ) имеют разный характер. Обозначим эту длину волны через  $\lambda_{\text{inv}}$ . Тогда при  $\lambda > \lambda_{\text{inv}}$  в спектре рассеянного излучения преобладает коротковолновое излучение (как и при рассеянии элементарным объемом), а при  $\lambda < \lambda_{\text{inv}}$ , напротив, длинноволновое. Анализ результатов показывает, что  $\lambda_{\text{inv}}$  для слоев с разной оптической толщиной  $\tau$  имеет разные значения, и ее положение монотонно смещается в сторону больших длин волн по

<sup>1</sup> Угол  $\Theta > 0$  соответствует прошедшему излучению, а угол  $\Theta < 0$  — отраженному.

мере увеличения  $\tau$ . При этом скорость смещения различна для разных углов рассеяния. Более всего чувствителен к изменению толщины слоя спектр прошедшего рассеянного излучения в направлениях, наиболее касательных к поверхности слоя, и инверсия спектра наступает тем раньше, чем больше угол рассеяния. Следует также отметить и такой момент: для фиксированного угла рассеяния инверсия спектра происходит примерно при одном значении оптической толщины  $\tau(\lambda_{\text{инв}})$  независимо от оптической толщины самого слоя. Именно этим объясняется смещение  $\lambda_{\text{инв}}$  в сторону меньших  $\lambda$  при уменьшении толщины слоя. Это значение оптической толщины  $\tau(\lambda_{\text{инв}})$  при разных углах рассеяния  $\Theta$  различно и имеет тем меньшее значение, чем больше угол  $\Theta$ : углу рассеяния  $\Theta=79^\circ$  соответствует  $0.7 < \tau(\lambda_{\text{инв}}) < 0.9$ ; углу  $\Theta=58^\circ$  —  $1.0 < \tau(\lambda_{\text{инв}}) < 2$ ; углам  $\Theta=37^\circ$  и  $16^\circ$  —  $2.0 < \tau(\lambda_{\text{инв}}) < 3.0$ .

Такова развитая и довольно сложная картина изменения спектра прошедшего через слой излучения по мере нарастания его толщины. Что касается излучения отраженного слоем, то для него инверсия спектра в рассмотренном диапазоне оптических толщин вообще не наблюдается. Здесь увеличение оптической толщины слоя приводит к постепенному уменьшению спектральной селективности излучения, и нейтральность спектра отраженного света растет. Так, при  $\tau(0.56)=15.25$  в угле рассеяния  $\Theta=-16^\circ$  интенсивность отраженного излучения практически не зависит от длины волны.

Наконец, остановимся на интегральных характеристиках (коэффициентах диффузного отражения  $r$  и пропускания  $t_{\text{диф}}$ ), которые описывают спектр всего отраженного или пропущенного света независимо от направления его распространения. Индекс «диф» в обозначении  $t_{\text{диф}}$  говорит о том, что рассматривается только рассеянное излучение, а прямо прошедший поток исключается. Как и следовало ожидать, при малых  $\tau$  спектры  $t_{\text{диф}}$  и  $r$  близки к спектру  $I=f(\lambda)$  и спектру излучения, рассеянного элементарным объемом. В соответствии с результатами, полученными для фиксированных направлений рассеяния, при увеличении оптической толщины слоя спектры  $t_{\text{диф}}=f(\lambda)$  и  $r=f(\lambda)$  становятся более нейтральными. Для тех слоев, у которых при фиксированных углах  $\Theta$  происходит инверсия спектра, наблюдается также инверсия спектра и интегрального (по углам) прошедшего излучения. Что касается спектра интегрального (по углам) отраженного излучения, то по мере нарастания толщины слоя он становится все более нейтральным — при  $\tau(0.56)=11.44$  зависимость коэффициента отражения  $r$  от длины волны практически исчезает.

Очень коротко резюме по вышеописанным результатам можно сформулировать следующим образом. При увеличении оптической толщины мало поглощающего рассеивающего слоя, начиная от  $\tau \approx 1$  спектральный состав рассеянного излучения, вышедшего из слоя в широком интервале длин волн, постепенно меняется и становится существенно отличным от спектра излучения, рассеянного элементарным объемом. С увеличением толщины слоя происходит относительное нарастание интенсивности более длинноволнового рассеянного излучения. При этом наиболее сильное изменение происходит в прошедшем через слой излучении, где при достаточно больших толщинах слоя спектр приобретает характер, противоположный тому, которым обладает элементарный объем.

#### Литература

- [1] Барков В. И. Ж. вычислит. математики и мат. физики, 1973, 13, № 4, с. 1068—1075.  
[2] Чандraseкар С. Перенос лучистой энергии. М.: ИЛ, 1953, с. 431.

Поступило в Редакцию 2 апреля 1982 г.